

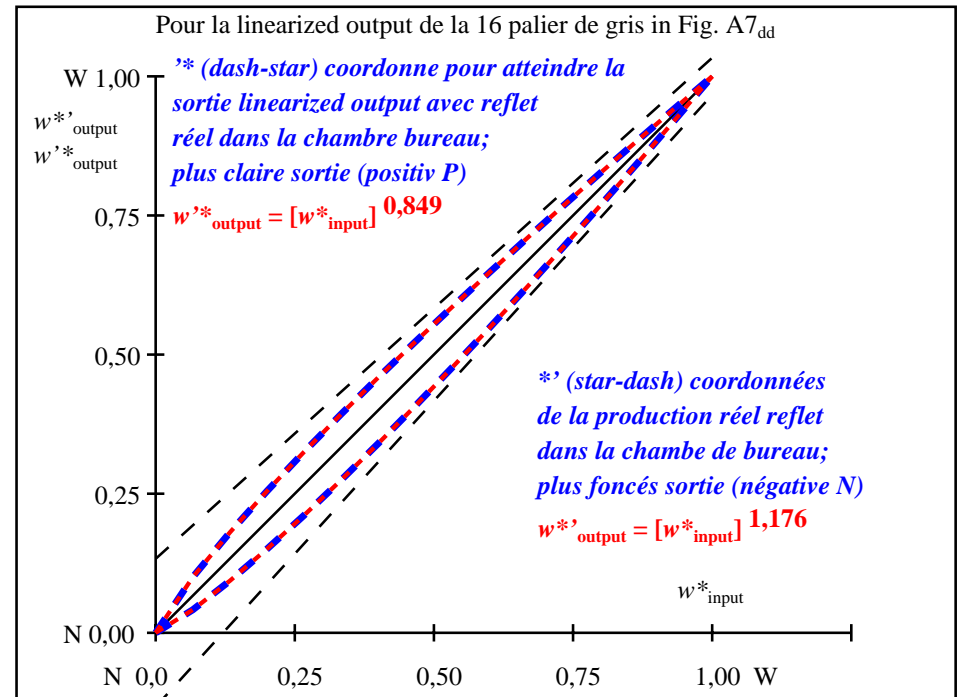
voir fichiers similaires: <http://farbe.li.tu-berlin.de/AF29/AF29F0NX.PDF> /PS; linéarisation 3D, page 9/24
F: linéarisation 3D AF29/AF29LF0NX.PDF /.PS dans fichier (F)

TUB enregistrement: 20190301-AF29/AF29L0FA.TXT /.PS
application pour la mesure de sortie d'affichage et d'impression
TUB matériel: code=th4ta

| i | LAB* _{ref} | L* _{out} | LAB* _{out} | LAB* _{out-ref} | ΔE* | la sortie S1 |
|----|---------------------|-------------------|---------------------|-------------------------|------|---|
| 1 | 10,99 0,00 0,00 | 0,00 0,00 | 10,99 0,00 0,00 | 0,00 0,00 0,00 | 0,01 | Selon la spécification à la ISO/IEC 15775 Annexe G et DIN 33866-1 Annexe G |
| 2 | 16,62 0,00 0,00 | 0,02 0,00 | 13,11 0,00 0,00 | -3, 0,00 0,00 | 3,50 | |
| 3 | 22,24 0,00 0,00 | 0,06 0,00 | 16,44 0,00 0,00 | -5, 0,00 0,00 | 5,80 | |
| 4 | 27,87 0,00 0,00 | 0,11 0,00 | 20,45 0,00 0,00 | -7, 0,00 0,00 | 7,42 | |
| 5 | 33,50 0,00 0,00 | 0,16 0,00 | 24,98 0,00 0,00 | -8, 0,00 0,00 | 8,52 | |
| 6 | 39,13 0,00 0,00 | 0,22 0,00 | 29,94 0,00 0,00 | -9, 0,00 0,00 | 9,19 | |
| 7 | 44,75 0,00 0,00 | 0,28 0,00 | 35,27 0,00 0,00 | -9, 0,00 0,00 | 9,48 | |
| 8 | 50,38 0,00 0,00 | 0,35 0,00 | 40,93 0,00 0,00 | -9, 0,00 0,00 | 9,45 | |
| 9 | 56,01 0,00 0,00 | 0,42 0,00 | 46,89 0,00 0,00 | -9, 0,00 0,00 | 9,11 | |
| 10 | 61,64 0,00 0,00 | 0,49 0,00 | 53,13 0,00 0,00 | -8, 0,00 0,00 | 8,50 | |
| 11 | 67,27 0,00 0,00 | 0,57 0,00 | 59,62 0,00 0,00 | -7, 0,00 0,00 | 7,64 | |
| 12 | 72,89 0,00 0,00 | 0,65 0,00 | 66,35 0,00 0,00 | -6, 0,00 0,00 | 6,54 | |
| 13 | 78,52 0,00 0,00 | 0,73 0,00 | 73,31 0,00 0,00 | -5, 0,00 0,00 | 5,21 | |
| 14 | 84,15 0,00 0,00 | 0,82 0,00 | 80,48 0,00 0,00 | -3, 0,00 0,00 | 3,67 | Différence moyenne de clarté (16 palier) |
| 15 | 89,78 0,00 0,00 | 0,91 0,00 | 87,84 0,00 0,00 | -1, 0,00 0,00 | 1,93 | ΔE*_{CIELAB} = 6,0 |
| 16 | 95,41 0,00 0,00 | 1,00 0,00 | 95,41 0,00 0,00 | 0,00 0,00 0,00 | 0,01 | |
| 17 | 10,99 0,00 0,00 | 0,00 0,00 | 10,99 0,00 0,00 | 0,00 0,00 0,00 | 0,01 | |
| 18 | 32,09 0,00 0,00 | 0,15 0,00 | 23,80 0,00 0,00 | -8, 0,00 0,00 | 8,29 | |
| 19 | 53,20 0,00 0,00 | 0,38 0,00 | 43,88 0,00 0,00 | -9, 0,00 0,00 | 9,32 | Différence moyenne de clarté (5 palier) |
| 20 | 74,30 0,00 0,00 | 0,67 0,00 | 68,07 0,00 0,00 | -6, 0,00 0,00 | 6,22 | ΔL*_{CIELAB} = 4,7 |
| 21 | 95,41 0,00 0,00 | 1,00 0,00 | 95,41 0,00 0,00 | 0,00 0,00 0,00 | 0,01 | Moyenne de l'indice de reproduction de couleur: R*_{ab,m} = 73,7 |

la part 1,

AF290-3dd: 010162



la part 2,

AF291-3dd: 010162

| L*/Y _{destiné} (absolu) | 10,9/1,2 | 16,6/2,2 | 22,2/3,5 | 27,8/5,4 | 33,5/7,7 | 39,1/10,7 | 44,7/14,3 | 50,3/18,7 | 56,0/23,9 | 61,6/29,9 | 67,2/36,9 | 72,8/45,0 | 78,5/54,1 | 84,1/64,3 | 89,7/75,8 | 95,4/88,5 |
|---|----------|----------|----------|----------|----------|-----------|-----------|-----------|-----------|-----------|-----------|-----------|-----------|-----------|-----------|-----------|
| 0 0 0 n* setcmyk | | | | | | | | | | | | | | | | |
| g _N =1,176 | | | | | | | | | | | | | | | | |
| No et code Hex | 00;F | 01;E | 02;D | 03;C | 04;B | 05;A | 06;9 | 07;8 | 08;7 | 09;6 | 10;5 | 11;4 | 12;3 | 13;2 | 14;1 | 15;0 |
| w* = l* _{CIELAB, r} (relative) | | | | | | | | | | | | | | | | |
| w* _{destiné} | 0,000 | 0,067 | 0,133 | 0,200 | 0,267 | 0,333 | 0,400 | 0,467 | 0,533 | 0,600 | 0,667 | 0,733 | 0,800 | 0,867 | 0,933 | 1,000 |
| w* _{sortie} | 0,000 | 0,041 | 0,093 | 0,150 | 0,211 | 0,274 | 0,340 | 0,408 | 0,476 | 0,548 | 0,620 | 0,693 | 0,769 | 0,845 | 0,921 | 1,000 |

la part 3, Fig. A7_{dd}: 16 paliers de gris L* équidistante; PS opérateur : 0 0 0 n* setcmykcolor

AF290-7dd: 010162

In-out: Graphique AF29 conforme à graphique 2 à ISO/IEC 15775
Y contraste visible Y_w:Y_N=88,9:1,25; Y_N-gamme 0,93 to <1,87

entrée : rgb/cmy0/000n/w set...
sortie : ->rgb_{dd} setrgbcolor